

EVALUASI KEANDALAN PENYULANG DENGAN METODE RELIABILITY NETWORK EQUIVALENT APPROACH

I Wayan Sukerayasa*, Musthopa**

*Staff Pengajar Jurusan Teknik Elektro, Fakultas Teknik, Universitas Udayana

** Alumni Jurusan Teknik Elektro, Fakultas Teknik, Universitas Udayana

Kampus Bukit Jimbaran, Bali, 80361

E-mail : sukerayasa@ee.unud.ac.id

Abstrak

Kualitas keandalan pelayanan energi listrik dapat dilihat dari lamanya pemadaman dan seberapa sering pemadaman terjadi dalam kurun waktu tertentu. Indeks keandalan merupakan ukuran keandalan yang dinyatakan dalam besaran probabilitas. Konfigurasi penyulang radial biasanya lebih kompleks dan panjang bila dibandingkan dengan konfigurasi spindel. Evaluasi keandalan penyulang radial memerlukan perhitungan indeks keandalan yang cukup rumit dan sangat banyak.

Metode *Reliability-Network-Equivalent Approach* (RNEA) digunakan untuk menganalisis keandalan sistem distribusi yang besar dan kompleks, dengan pendekatan elemen ekuivalen. Rangkaian ekuivalen digunakan untuk mengganti bagian jaringan distribusi dan menyusun kembali sistem distribusi kedalam bentuk seri dan sederhana. Metode RNEA menggunakan proses berulang dan berurutan untuk mengevaluasi indeks keandalan per titik beban (*load point*).

Sebagai sampel dalam penelitian ini diambil Penyulang Penebel, yang merupakan penyulang radial, panjang dan kompleks. Dari studi keandalan ini didapatkan indeks titik beban (*load point*) dan indeks sistem, yang berguna untuk perencanaan sistem di masa yang akan datang. Untuk mencari nilai indeks titik beban (*load point*), SAIFI dan SAIDI, telah dibangun program dengan memakai pendekatan metode RNEA. Hasil studi menunjukkan, nilai SAIFI Penyulang Penebel adalah sebesar 1,7594 (Pemadaman/Pelanggan.Tahun), dan untuk nilai SAIDI adalah sebesar 4,248 (Jam/Pelanggan.Tahun).

Kata Kunci : Keandalan, Sistem distribusi, *Reliability-Network-Equivalent Approach*

1. PENDAHULUAN

Keandalan sistem distribusi adalah peluang suatu komponen atau sistem distribusi dalam memenuhi fungsi yang dibutuhkan dalam periode tertentu. Peningkatan kebutuhan tenaga listrik menuntut sistem distribusi tenaga listrik yang mempunyai tingkat keandalan yang baik. Pada sistem distribusi, kualitas keandalan dapat dilihat dari lamanya pemadaman dan seberapa sering pemadaman terjadi dalam satu satuan waktu, misalkan dalam satu tahun. Dengan tingkat keandalan yang sesuai dengan standar, masyarakat pengguna dapat menikmati energi listrik secara kontinyu. Untuk menyalurkan tenaga listrik dari Gardu Induk ke pusat-pusat beban diperlukan sistem distribusi. Sebuah sistem distribusi tentunya mempunyai nilai keandalan tertentu, yang tergantung dari keandalan sistem distribusi, yang diperoleh dengan menghitung tingkat indeks keandalannya. Indeks keandalan merupakan ukuran keandalan dari sistem distribusi yang dinyatakan dalam besaran probabilitas.

Salah satu Penyulang di Gardu Induk Kapal adalah Penyulang Penebel. Penyulang ini masuk dalam kawasan Area Jaringan Bali Selatan (AJ Batan) PT. PLN (Persero) Distribusi Bali. Penyulang Penebel bertipe radial dan konfigurasi jaringan yang

kompleks. Dari pemetaan yang telah dilakukan, terdapat 20 *lateral* dan jumlah Gardu Distribusi sebanyak 89 unit, dengan jumlah pelanggan sebanyak 14989 pelanggan, dan panjang Penyulang 131,792 km. PT. PLN mempunyai target untuk mencapai pelayanan pelanggan kelas dunia, yang selanjutnya disebut WCS (*World Class Service*). Salah satu indikator WCS adalah memenuhi standar SAIFI sebesar 3 (Pemadaman/Pelanggan.Tahun) dan SAIDI sebesar 100 (Menit/Pelanggan. Tahun). Dalam penelitian ini dihitung indeks keandalan Penyulang Penebel.

Teknik analisis yang digunakan untuk mengevaluasi keandalan sistem distribusi telah berkembang dengan pesat. Salah satu metode konvensional untuk mengevaluasi keandalan sistem distribusi umumnya berdasarkan analisis pengaruh kegagalan (*Failure-Mode-and-Effect-Analysys*) yang selanjutnya disingkat metode FMEA. Pada metode FMEA, kemungkinan terjadinya kegagalan atau tidak berfungsi tiap komponen pada sistem distribusi diidentifikasi dan dianalisis untuk mengetahui pengaruhnya terhadap titik beban (*load point*). Pada akhirnya kejadian kegagalan dibentuk untuk mengevaluasi indeks titik beban. Metode FMEA menggunakan perhitungan yang sangat banyak, sehingga membutuhkan waktu perhitungan yang

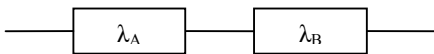
lama. Oleh karena itu diperlukan suatu metode yang lebih sederhana dan yang lebih cepat untuk menghitung indeks keandalan titik beban dan indeks keandalan sistem.

R. Billinton dan P. Wang memperkenalkan metode pendekatan ekuivalen keandalan jaringan (*Reliability-Network-Equivalent Approach*) pada tahun 1998. Metode pendekatan ekuivalen keandalan jaringan digunakan untuk menganalisis sistem distribusi radial yang besar dan kompleks secara sederhana. Prinsip utama metode ini adalah elemen ekuivalen dapat digunakan untuk mengganti bagian jaringan distribusi dan menyusun kembali sistem distribusi yang besar kedalam bentuk seri dan sederhana. Metode ini merupakan metode pendekatan yang menggunakan proses berulang dan berurutan untuk mengevaluasi indeks keandalan per titik beban (*individual load point*). Metode pendekatan ekuivalen keandalan jaringan ini merupakan penyederhanaan dari metode FMEA, dan merupakan solusi dari masalah yang dihadapi metode FMEA. [2]

2. INDEKS KEANDALAN

Indeks keandalan merupakan suatu indikator keandalan yang dinyatakan dalam suatu besaran probabilitas. Sejumlah indeks sudah dikembangkan untuk menyediakan suatu kerangka untuk mengevaluasi keandalan sistem tenaga. Evaluasi keandalan sistem distribusi terdiri dari indeks titik beban dan indeks sistem. Indeks kegagalan titik beban yang biasanya digunakan meliputi tingkat kegagalan λ (Kegagalan/Tahun), rata-rata waktu keluar (*outage*) r (Jam/Kegagalan) dan rata-rata ketaktersediaan tahunan U (Jam/Tahun). [1]

Pada sistem distribusi tipe radial umumnya menggunakan kombinasi seri. Misalkan sebuah Penyulang tersusun secara seri antara *Circuit Breaker*, *Disconnecting Switch*, Saluran, *Fuse*, dan Gardu Distribusi. Secara sederhana susunan seri antar komponen dapat dilihat pada gambar 1.



Gambar 1. Sistem Seri

Sistem yang ditunjukkan pada gambar 1 adalah sebuah sistem yang terdiri dari komponen A dan komponen B. Dua komponen tersebut terhubung secara seri. Jika λ_A adalah laju kegagalan komponen A dan λ_B laju kegagalan komponen B. [1], maka :

$$\lambda_{SYS} = \lambda_A + \lambda_B \quad (1)$$

$$r_{SYS} = \frac{\lambda_A r_A + \lambda_B r_B}{\lambda_A + \lambda_B} \quad (2)$$

$$U_{SYS} = \lambda_{SYS} r_{SYS} \quad (3)$$

Untuk n komponen maka persamaan menjadi:

$$\lambda_{SYS} = \sum_{i=1}^n \lambda_i \quad (4)$$

$$r_{SYS} = \frac{\sum_{i=1}^n \lambda_i r_i}{\sum_{i=1}^n \lambda_i} \quad (5)$$

$$U_{SYS} = \lambda_{SYS} r_{SYS} \quad (6)$$

Keterangan:

- λ_A : Laju kegagalan komponen A (*fault/year*)
- λ_B : Laju kegagalan komponen B (*fault/year*)
- r_A : Waktu keluar(*Outage time*) komponen A (*hours/fault*)
- r_B : Waktu keluar (Outage time) komponen B (*hours/fault*)
- λ_{SYS} : Laju kegagalan sistem (*fault/year*)
- r_{SYS} : Rata-rata waktu keluar(*outage time*) sistem (*hours/fault*)
- U_{SYS} : Rata-rata ketaktersediaan (*Unavailability*) sistem (*hours/year*)

Dalam penelitian ini, indeks sistem yang dicari adalah SAIFI (*System Average Interruption Frequency Index*) dan SAIDI (*System Average Interruption Duration Index*).

Berikut ini adalah formula matematis-nya :

a. SAIFI

Indeks ini didefinisikan sebagai jumlah rata-rata kegagalan yang terjadi per pelanggan yang dilayani oleh sistem per satuan waktu (umumnya per tahun). [1]

$$SAIFI = \frac{\sum \lambda_k M_k}{\sum M_k} \quad (7)$$

b. SAIDI

Indeks ini didefinisikan sebagai nilai rata-rata dari lamanya kegagalan untuk setiap konsumen selama satu tahun.[1]

$$SAIDI = \frac{\sum U_k M_k}{\sum M_k} \quad (8)$$

Kegunaan dari informasi indeks keandalan sistem adalah sangat luas, kegunaan-kegunaan yang paling umum meliputi::

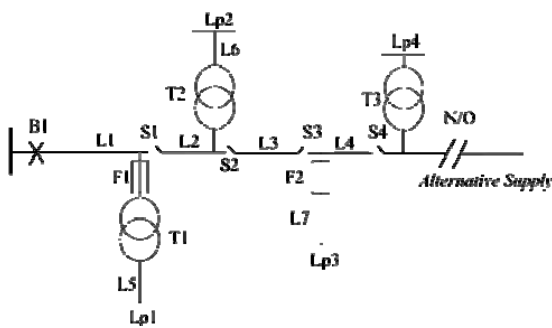
1. Melengkapi manajemen dengan data capaian mengenai mutu layanan pelanggan pada sistem listrik secara keseluruhan.
2. Untuk mengidentifikasi subsistem dan sirkuit dengan capaian di bawah standar dan untuk memastikan penyebabnya.

3. Melengkapi manajemen dengan data capaian mengenai mutu layanan pelanggan untuk masing-masing area operasi.
4. Menyediakan sejarah keandalan dari sirkuit individu untuk diskusi dengan pelanggan sekarang atau calon pelanggan.
5. Memenuhi syarat pelaporan pengaturan.
6. Menyediakan suatu basis untuk menetapkan ukuran-ukuran kesinambungan layanan.
7. Menyediakan data capaian yang penting bagi suatu pendekatan probabilistik untuk studi keandalan sistem distribusi.[3]

3. METODE RELIABILITY-NETWORK-EQUIVALENT

Metode *Reliability-Network-Equivalent Approach* (RNEA) merupakan penyederhanaan dari metode *Failure-Mode-and-Effect Analysis* (FMEA). Metode RNEA digunakan untuk menganalisis sistem distribusi radial yang kompleks secara sederhana. Prinsip utama pada metode ini adalah elemen ekuivalen dapat digunakan untuk mengganti bagian jaringan distribusi dan menyusun kembali sistem distribusi yang besar kedalam bentuk seri dan sederhana. Metode ini merupakan metode pendekatan untuk mengevaluasi sistem distribusi yang menggunakan proses berulang dan berurutan untuk mengevaluasi indeks keandalan per titik beban (*load point*).

Pada gambar 2 dapat dilihat bahwa sistem distribusi radial yang terdiri dari Transformator, Saluran, *Breaker*, *Fuse*, dan *Disconnecting Switch*. S_i , L_i disebut sebagai seksi utama (*main section*) yang menyalurkan energi ke lokasi beban. Beban (*load point*) pada kondisi normal terhubung langsung dengan Transformator. *Fuse* F_1 dan saluran cabang T_1 dan L_5 disebut sebagai seksi cabang (*lateral section*).



Keterangan:

B : *Breaker*

T : *Transformer*

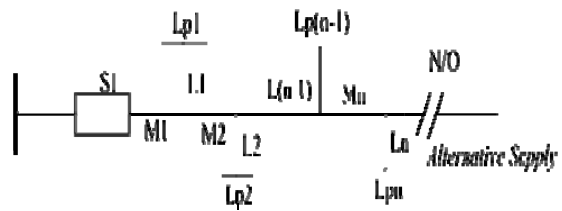
L : *Line*

S : *Disconnecting Switch*

F : *Fuse*

Gambar 2. Sistem Distribusi

Sistem distribusi yang terlihat pada gambar 2 dapat dimodelkan dengan Penyulang umum, seperti yang terlihat pada gambar 2. Penyulang umum terdiri dari n seksi utama (*main section*), n seksi cabang (*lateral section*) dan komponen seri. Secara berurutan S_i , L_i , M_i dan L_p menggambarkan komponen seri i , L_i dapat disebut sebagai saluran dengan *Fuse* atau saluran dengan *Fuse* dan Transformator pada seksi cabang i , M_i dapat disebut sebagai saluran dengan *Disconnecting Switch* atau saluran dengan dua *Disconnecting Switch* di kedua ujungnya pada seksi utama i , dan L_p adalah *load point* i .



Keterangan :

S : Komponen Seri

M: Saluran dengan *Disconnecting Switch*

L : Saluran dengan *Fuse* dan Transformator

L_p : *Load point*

Gambar 3. Penyulang Umum

Berdasarkan data elemen dan konfigurasi pada Penyulang umum, didapatkan formula untuk menghitung tiga indeks titik beban (*load point indexes*) Sesuai dengan persamaan :

$$\lambda_j = \lambda_{sj} + \sum_{i=1}^n \lambda_{ij} + \sum_{k=1}^n P_{kj} \lambda_{kj} \quad (9)$$

$$U_j = \lambda_{sj} r_{sj} + \sum_{i=1}^n \lambda_{ij} r_{ij} + \sum_{k=1}^n P_{kj} \lambda_{kj} r_{kj} \quad (10)$$

$$r_j = \frac{U_j}{\lambda_j} \quad (11)$$

Keterangan:

λ_j : laju kegagalan pada titik beban j

U_j : rata-rata ketaktersediaan tahunan pada titik beban j

r_j : rata-rata lama padam pada titik beban j

λ_{sj} : laju kegagalan komponen seri terhadap titik beban j

λ_{ij} : laju kegagalan seksi utama i terhadap titik beban j

λ_{kj} : laju kegagalan seksi cabang k terhadap titik beban j

P_{kj} : parameter kontrol seksi cabang k terhadap titik beban j

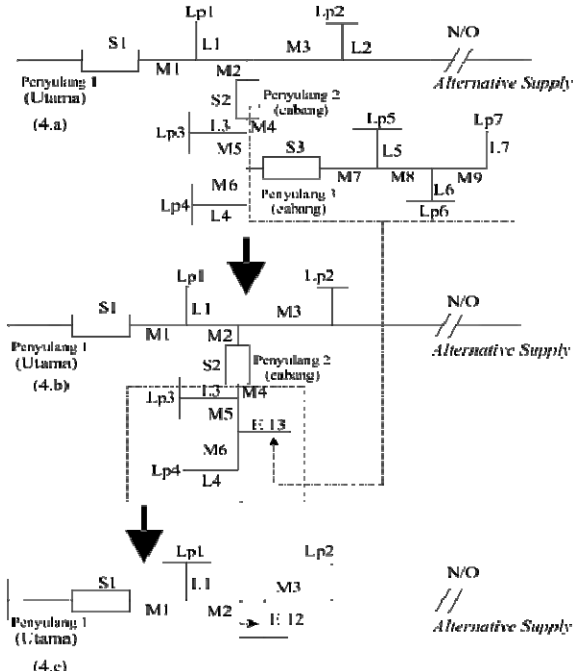
- r_{ij} : waktu *switching* (*switching time*) atau waktu perbaikan (*repair time*) titik beban j pada *main section* i
- r_{sj} : waktu perbaikan (*repair time*) untuk elemen seri s terhadap titik beban j
- r_{kj} : waktu *switching* (*switching time*) atau waktu perbaikan (*repair time*) titik beban j pada *lateral section* k

P_{kj} adalah parameter kontrol dari seksi cabang k yang tergantung pada model operasi *Fuse*. P_{kj} bernilai 1 jika tidak ada *Fuse* atau 0 jika keandalan *Fuse* 100 prosen, dan bernilai antara 0 dan 1 untuk *Fuse* yang mempunyai probabilitas operasi ketidaksesuaian tertentu. Parameter λ_{ij} , λ_{kj} , dan λ_{sj} adalah laju kegagalan dari seksi utama i , seksi cabang k dan elemen seri s . r_{ij} , r_{sj} dan r_{kj} adalah durasi pemadaman (waktu *switching* atau waktu perbaikan).

Sistem distribusi biasanya mempunyai konfigurasi yang kompleks, dimana terdiri dari Penyulang utama dan Penyulang cabang, seperti yang ditunjukkan pada gambar 4. Penyulang utama merupakan konfigurasi yang terdiri dari satu pemisah, dua pemisah atau tidak mempunyai pemisah pada seksi utama (*main section*) dan model operasi *Fuse* yang berbeda pada seksi cabang (*lateral section*). Penyulang cabang adalah Penyulang yang terhubung dengan Penyulang utama seperti terlihat pada gambar 4. Penyulang cabang 2 dan Penyulang cabang 3 disebut sebagai Penyulang cabang. Persamaan (9-11) tidak bisa digunakan secara langsung untuk mengevaluasi indeks keandalan pada sistem ini. Metode pendekatan ekuivalen jaringan memberikan teknik praktis untuk mengatasi masalah ini. Konsep dasar pada metode pendekatan ini dapat diilustrasikan pada gambar 4, konfigurasi asli dilustrasikan oleh gambar 4.a, kemudian Penyulang cabang 3 dan Penyulang cabang 2 direduksi, sehingga menghasilkan jaringan ekuivalen seperti terlihat pada gambar 4.b. dan gambar 4.c.

Kegagalan elemen pada Penyulang cabang 3 akan mempengaruhi titik beban (*load point*) pada Penyulang cabang 3, Penyulang 1 dan Penyulang cabang 2. Pengaruh Penyulang cabang 3 terhadap Penyulang 1 dan 2 adalah sama dengan pengaruh seksi cabang pada Penyulang cabang 2. Penyulang cabang 3 dapat diganti dengan ekuivalen seksi cabang (El 3). Ekuivalen seksi cabang harus memasukkan pengaruh kegagalan terhadap semua komponen pada Penyulang cabang 3. Ekuivalen seksi cabang (El 2) Penyulang cabang 2 dapat dikembangkan seperti terlihat pada gambar 4.c.

Parameter ekuivalen seksi cabang akan tergantung dari lokasi pemisah (*Disconnecting Switch*).



Gambar 4. Jaringan Ekuivalen Keandalan

Parameter keandalan ekuivalen seksi cabang dapat dibagi kedalam dua bagian dengan menggunakan persamaan matematis sebagai berikut

$$\lambda_{el} = \sum_{i=1}^m \lambda_i \quad (12)$$

$$U_{el} = \sum_{i=1}^m \lambda_i r_i \quad (13)$$

$$r_{el} = \frac{U_{el}}{\lambda_{el}} \quad (14)$$

$$\lambda_{e2} = \sum_{i=1}^n \lambda_i \quad (15)$$

$$U_{e2} = \sum_{i=1}^n \lambda_i r_i \quad (16)$$

$$r_{e2} = \frac{U_{e2}}{\lambda_{e2}} \quad (17)$$

Keterangan :

λ_{el} : laju kegagalan ekuivalen komponen seri yang tidak diisolasi pemisah

λ_i : laju kegagalan komponen i

λ_{e2} : laju kegagalan ekuivalen komponen seri yang diisolasi pemisah

r_{el} : total waktu perbaikan (*repair time*)

r_i : waktu perbaikan komponen i

U_{el} : total ketaktersediaan tahunan ekuivalen komponen seri yang tidak diisolasi pemisah

U_{e2} : total ketaktersediaan tahunan ekuivalen komponen seri yang diisolasi pemisah

Dengan menggunakan jaringan ekuivalen, sistem dapat direduksi ke dalam bentuk sistem distribusi umum seperti yang ditunjukkan pada gambar 4.c. sehingga hanya Penyulang 1 saja yang ada.Untuk kondisi tersebut persamaan dasar (9-11) dapat digunakan untuk mengevaluasi indeks titik beban (*load point*) Penyulang 1. Disatu sisi, kegagalan komponen pada pada Penyulang 1 juga berpengaruh terhadap titik beban (*load point*) pada Penyulang 2 dan Penyulang 3. Pengaruh tersebut, ekuivalen terhadap komponen seri S_2 pada Penyulang 2. Penyulang 2 menjadi sistem distribusi umum setelah ekuivalen komponen seri S_2 dihitung. Indeks titik beban (*load point*) pada Penyulang 2 dan parameter ekuivalen komponen seri S_3 kemudian dihitung dengan cara yang sama seperti pada Penyulang 1. Pada akhirnya indeks titik beban (*load point*) Penyulang 3 dapat dievaluasi. Parameter keandalan dari ekuivalen komponen seri dapat dihitung menggunakan metode yang dipakai untuk menghitung indeks titik beban (*load point*).

Proses yang digunakan untuk mengevaluasi indeks keandalan sistem distribusi yang menggunakan RNEA terdiri dari langkah-langkah sebagai berikut:

1. Proses *bottom-up*, digunakan untuk mencari semua Penyulang cabang (*sub Feeder*) kemudian diganti dengan jaringan ekuivalen seksi cabang (*lateral section*) sehingga sistem dapat direduksi menjadi sistem distribusi umum.
2. Prosedur *top-down*, proses ini digunakan untuk mengevaluasi indeks titik beban (*load point*) tiap Penyulang (*Feeder*) dan ekuivalen komponen seri untuk Penyulang cabang (*sub Feeder*), sampai semua indeks titik beban (*load point*) baik pada Penyulang utama (*Feeder*) maupun Penyulang cabang (*sub Feeder*) dievaluasi.
3. Setelah masing-masing indeks titik beban (*load point*) dihitung, kemudian menghitung indeks Penyulang dan sistem.[2]

Tabel 1. Jumlah Pelanggan Penyulang Penebel

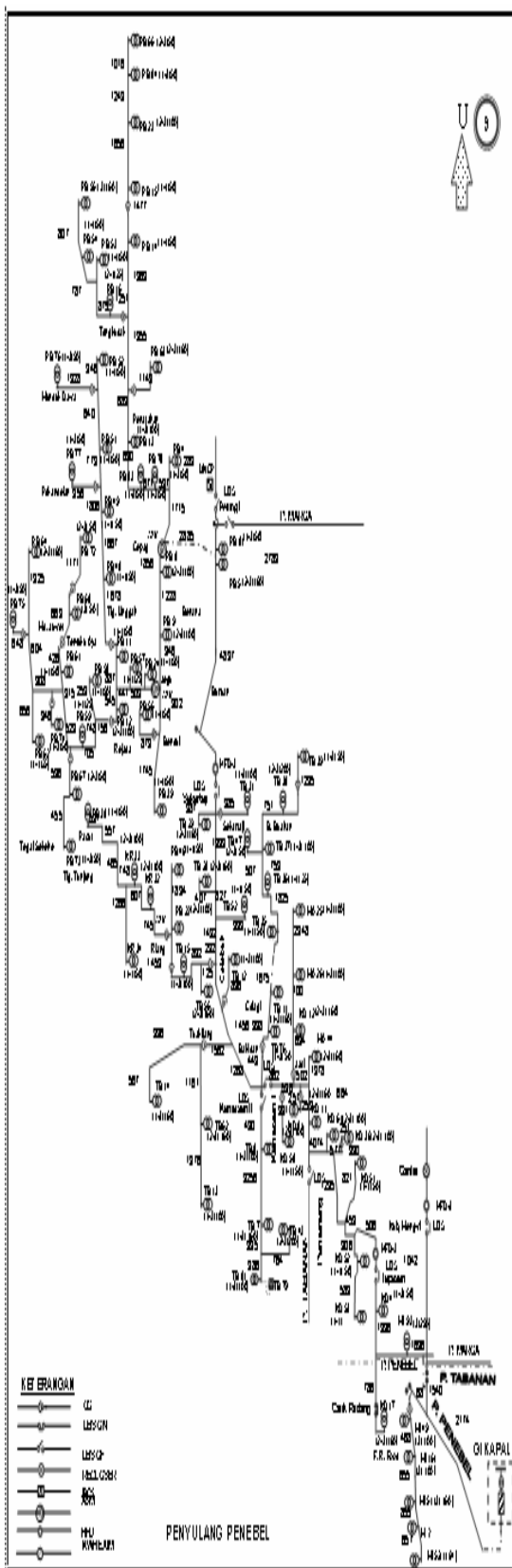
| Load Point | Kapasitas (kVA) | Jumlah Pelanggan |
|------------|-----------------|------------------|
| PB4 | 50 | 121 |
| PB78 | 50 | 13 |
| PB83 | 160 | 55 |
| PB13 | 100 | 424 |
| PB63 | 160 | 67 |
| PB14 | 50 | 168 |
| PB59 | 25 | 96 |
| PB74 | 50 | 11 |
| PB62 | 25 | 13 |
| PB75 | 50 | 23 |
| PB64 | 160 | 74 |
| PB67 | 50 | 104 |
| PB73 | 50 | 33 |
| PB61 | 50 | 83 |
| PB68 | 50 | 56 |
| PB72 | 50 | 77 |
| PB16 | 100 | 196 |
| PB53 | 50 | 30 |
| PB54 | 50 | 137 |
| PB55 | 160 | 123 |
| PB15 | 50 | 206 |
| PB23 | 100 | 586 |
| PB84 | 100 | 55 |
| PB66 | 50 | 10 |
| MI93 | 250 | 2 |
| KD17 | 100 | 1 |
| KD4 | 100 | 341 |
| KD51 | 50 | 177 |
| KD36 | 100 | 295 |
| KD61 | 100 | 164 |
| KD11 | 160 | 223 |
| MA44 | 160 | 223 |
| KD81 | 100 | 61 |
| KD58 | 50 | 199 |
| TB12 | 100 | 308 |
| TB52 | 50 | 49 |

4. MODEL YANG DIANALISIS

Data Standar PLN yang digunakan dalam penelitian ini adalah Standar PLN 59 : "Keandalan pada Sistem Distribusi 20 kv dan 6 kV", yaitu: [7]

- λ SUTM = 0.02466 Kggln./Tahun. km
- λ SKBT = 0.07 Kggln./Tahun. km
- λ trafo = 0.005 Kggln./tahun
- Repair Time SUTM= 3 jam
- Repair time SKBT = 10 jam
- Switching Time = 0.003 Jam
- Waktu Penggantian Trafo = 10 jam

Data jumlah pelanggan dan kapasitas masing-masing *load point* dapat dilihat pada tabel 1.



(Lanjutan) Tabel 1. Jumlah Pelanggan Penyulang Penebel

| Load Point | Kapasitas (kVA) | Jumlah Pelanggan |
|-------------------|------------------------|-------------------------|
| MI49 | 100 | 222 |
| MI161 | 100 | 222 |
| MI51 | 160 | 355 |
| MI195 | 100 | 222 |
| MI52 | 64 | 222 |
| KD52 | 50 | 127 |
| KD53 | 100 | 176 |
| KD12 | 160 | 236 |
| MA26 | 100 | 206 |
| MA25 | 100 | 139 |
| TB8 | 100 | 328 |
| TB7 | 160 | 507 |
| TB81 | 100 | 111 |
| TB43 | 200 | 204 |
| TB76 | 160 | 22 |
| TB11 | 160 | 217 |
| TB35 | 100 | 331 |
| TB36 | 50 | 226 |
| TB37 | 100 | 181 |
| TB47 | 50 | 1 |
| TB38 | 200 | 360 |
| TB39 | 100 | 272 |
| TB14 | 160 | 330 |
| TB62 | 160 | 55 |
| TB13 | 100 | 412 |
| TB56 | 160 | 59 |
| TB15 | 100 | 86 |
| PB22 | 100 | 313 |
| PB46 | 50 | 225 |
| KR32 | 100 | 272 |
| KR33 | 100 | 164 |
| KR34 | 50 | 123 |
| PB38 | 50 | 45 |
| PB8 | 100 | 313 |
| PB9 | 100 | 320 |
| PB56 | 50 | 44 |
| PB39 | 50 | 176 |
| PB24 | 50 | 71 |
| PB57 | 25 | 49 |
| PB11 | 50 | 211 |
| PB12 | 100 | 257 |
| PB48 | 50 | 89 |
| PB49 | 50 | 90 |
| PB77 | 50 | 55 |
| PB51 | 50 | 40 |
| PB76 | 50 | 32 |
| PB52 | 50 | 77 |
| PB58 | 100 | 60 |

| Load Point | Kapasitas (kVA) | Jumlah Pelanggan |
|-------------------|------------------------|-------------------------|
| TB28 | 160 | 399 |
| TB29 | 160 | 414 |
| TB31 | 100 | 102 |
| PB5 | 160 | 448 |
| PB81 | 50 | 8 |

Parameter utama yang digunakan adalah panjang saluran per segmennya. Data tersebut dapat dilihat pada tabel 2. Data pada tabel tersebut adalah sudah dalam bentuk pemodelan program.

Tabel 2. Panjang Saluran (*Line*) per segmen

| Line | Panjang (km) |
|-------------------|---------------------|
| FKPLPNB0101001002 | 0.085 |
| FKPLPNB0101002003 | 2.174 |
| FKPLPNB0101003004 | 3.176 |
| FKPLPNB0101004005 | 1.962 |
| FKPLPNB0101005006 | 0.786 |
| FKPLPNB0101005007 | 1.336 |
| FKPLPNB0101007008 | 0.506 |
| FKPLPNB0101008009 | 0.453 |
| FKPLPNB0101009010 | 0.821 |
| FKPLPNB0101009011 | 1.253 |
| FKPLPNB010111012 | 0.39 |
| FKPLPNB010111013 | 0.577 |
| FKPLPNB0101013014 | 0.251 |
| FKPLPNB0101013015 | 4.074 |
| FKPLPNB0101015016 | 0.253 |
| FKPLPNB0101016017 | 1.378 |
| FKPLPNB0101016018 | 0.251 |
| FKPLPNB0101018019 | 0.257 |
| FKPLPNB0101018020 | 0.251 |
| FKPLPNB0101020021 | 0.53 |
| FKPLPNB0101021022 | 0.391 |
| FKPLPNB0101021023 | 0.862 |
| FKPLPNB0101023024 | 1.268 |
| FKPLPNB0101024025 | 1.456 |
| FKPLPNB0101025026 | 0.896 |
| FKPLPNB0101025027 | 0.292 |
| FKPLPNB0101027028 | 1.492 |
| FKPLPNB0101028029 | 0.399 |
| FKPLPNB0101028030 | 0.827 |
| FKPLPNB0101030031 | 0.407 |
| FKPLPNB0101030032 | 1.939 |
| FKPLPNB0101032034 | 0.985 |
| FKPLPNB0101032035 | 4.897 |

(Lanjutan) Tabel 2. Panjang Saluran (*Line*) per segmen

| Line | Panjang (km) |
|-------------------|-------------------------|
| FKPLPNB0101035036 | 0.958 |
| FKPLPNB0101036037 | 0.987 |
| FKPLPNB0101036038 | 2.885 |
| FKPLPNB0101038039 | 1.715 |
| FKPLPNB0101039040 | 0.289 |
| FKPLPNB0101039041 | 0.537 |
| FKPLPNB0101032033 | 0.987 |
| FKPLPNB0101041042 | 0.677 |
| FKPLPNB0101042043 | 0.63 |
| FKPLPNB0101043044 | 0.689 |
| FKPLPNB0101044045 | 1.149 |
| FKPLPNB0101044046 | 1.355 |
| FKPLPNB0101046047 | 1.369 |
| FKPLPNB0101047048 | 1.107 |
| FKPLPNB0102003001 | 0.064 |
| FKPLPNB0102001002 | 0.468 |
| FKPLPNB0102002003 | 0.665 |
| FKPLPNB0102003004 | 0.855 |
| FKPLPNB0102004005 | 0.657 |
| FKPLPNB0103008001 | 0.306 |
| FKPLPNB0103001002 | 0.583 |
| FKPLPNB0104020001 | 0.694 |
| FKPLPNB0104001002 | 0.1 |
| FKPLPNB0104002003 | 2.348 |
| FKPLPNB0105023001 | 0.49 |
| FKPLPNB0105001002 | 9.256 |
| FKPLPNB0105002003 | 1.378 |
| FKPLPNB0105003004 | 0.359 |
| FKPLPNB0105004005 | 0.764 |
| FKPLPNB0106023001 | 0.449 |
| FKPLPNB0106001002 | 0.998 |
| FKPLPNB0106002003 | 1.675 |
| FKPLPNB0106003004 | 1.825 |
| FKPLPNB0106004005 | 0.759 |
| FKPLPNB0106005006 | 0.507 |
| FKPLPNB0106005007 | 0.751 |
| FKPLPNB0106007008 | 1.235 |
| FKPLPNB0107024001 | 1.562 |
| FKPLPNB0107001002 | 1.503 |
| FKPLPNB0107001003 | 1.161 |
| FKPLPNB0107003004 | 1.376 |
| FKPLPNB0108027001 | 0.125 |
| FKPLPNB0108001002 | 0.125 |
| FKPLPNB0108001003 | 0.892 |
| FKPLPNB0809003001 | 0.431 |
| FKPLPNB0809001002 | 1.453 |

(Lanjutan) Tabel 2. Panjang Saluran (*Line*) per segmen

| Line | Panjang (km) |
|-------------------|-------------------------|
| FKPLPNB0809002003 | 1.834 |
| FKPLPNB0910001001 | 0.745 |
| FKPLPNB0910001002 | 0.607 |
| FKPLPNB0910002003 | 0.374 |
| FKPLPNB0910003004 | 1.266 |
| FKPLPNB0910003005 | 1.927 |
| FKPLPNB0111038001 | 1.856 |
| FKPLPNB0111001002 | 1.228 |
| FKPLPNB0111002003 | 0.346 |
| FKPLPNB0111003004 | 0.902 |
| FKPLPNB0111004005 | 0.879 |
| FKPLPNB0111004006 | 1.745 |
| FKPLPNB1112003001 | 0.168 |
| FKPLPNB1112001002 | 0.335 |
| FKPLPNB1112002003 | 0.441 |
| FKPLPNB1112003004 | 0.887 |
| FKPLPNB1213003001 | 0.545 |
| FKPLPNB1214004001 | 1.687 |
| FKPLPNB1214001002 | 1.667 |
| FKPLPNB1214002003 | 1.806 |
| FKPLPNB1214003004 | 0.956 |
| FKPLPNB1214003005 | 0.773 |
| FKPLPNB1214005006 | 0.64 |
| FKPLPNB1214006007 | 1.328 |
| FKPLPNB1214006008 | 0.346 |
| FKPLPNB1315001001 | 0.156 |
| FKPLPNB1315001002 | 0.259 |
| FKPLPNB1315001003 | 1.453 |
| FKPLPNB1315003004 | 0.529 |
| FKPLPNB1315004005 | 0.686 |
| FKPLPNB1315005006 | 0.229 |
| FKPLPNB1315006007 | 0.346 |
| FKPLPNB1315006008 | 0.908 |
| FKPLPNB1315008009 | 0.656 |
| FKPLPNB1315008010 | 0.604 |
| FKPLPNB1315010011 | 0.648 |
| FKPLPNB1315010012 | 1.325 |
| FKPLPNB1516004001 | 0.536 |
| FKPLPNB1516001002 | 0.455 |
| FKPLPNB1517005001 | 0.311 |
| FKPLPNB1517001002 | 0.426 |
| FKPLPNB1718002001 | 0.669 |
| FKPLPNB1718001002 | 1.171 |
| FKPLPNB0119046001 | 0.125 |
| FKPLPNB0119001002 | 1.016 |
| FKPLPNB0119002003 | 0.273 |
| FKPLPNB0119002004 | 0.602 |

(Lanjutan) Tabel 2. Panjang Saluran (*Line*) per segmen

| Line | Panjang (km) |
|-------------------|-------------------------|
| FKPLPNB0119004005 | 0.807 |
| FKPLPNB0120048001 | 0.37 |
| FKPLPNB0120001002 | 1.656 |
| FKPLPNB0120002003 | 1.249 |
| FKPLPNB0120003004 | 1.016 |

5. PERANCANGAN PROGRAM

Perancangan program di buat agar dapat digunakan untuk menghitung indeks keandalan pada sistem distribusi yang bertipe radial. Sebagai objek penelitian dipilih Penyulang Penebel pada Gardu Induk Kapal. Penyulang Penebel adalah salah satu Penyulang yang terpanjang di GI Kapal, dengan pangjangnya yang mencapai 131,792 km.

Program dirancang dengan pemrograman *Database MySQL* dan *interface Visual Basic*. Algoritma program disusun sebagai berikut:

1. Masukkan data kedalam sistem basis data
2. Menghitung lamda (λ_e) dan ketaktersediaan tahunan *Feeder* anak (U_e)
3. Menghitung lamda (λ) dan ketaktersediaan tahunan *Feeder* induk (U)
4. Menghitung indeks titik beban yang terdapat pada *Feeder* induk
5. Mengulang proses 2, 3 secara berurutan sampai titik beban yang terakhir di evaluasi
6. Menghitung SAIFI dan SAIDI Penyulang.

6. HASIL DAN PEMBAHASAN

Dari hasil eksekusi program didapat indeks *load point*, dimana λ (Kegagalan/Tahun) terbesar dimiliki oleh gardu PB72, yaitu 2,0905 (Kegagalan/Tahun). Hal ini terjadi karena letak *load point* di Bentangan *Feeder* FKPLPNB1718, yang merupakan Bentangan *Feeder* paling ujung. Sementara itu U (Jam/Tahun) terbesar, yaitu sebesar 6,76 (Jam/Tahun) dimiliki oleh *load point* PB15, PB23, PB84, PB66, yang terletak pada Bentangan *Feeder* FKPLPNB0120. Hal ini karena *load point* pada Bentangan *Feeder* FKPLPNB0120 terletak setelah ke-3 pemisah seksi.

Untuk kategori λ (Kegagalan/Tahun) terkecil sebesar 1,6508 (Kegagalan/Tahun) dimiliki oleh *load point* MI93, KD17, KD4, KD51, KD53, KD61, MA44, PB13, PB14, PB4, PB5, PB78, PB81, PB83, TB52, TB29, TB28, yang terletak pada Bentangan *Feeder* FKPLPNB0101, karena *load point* terletak pada *Feeder* Utama. λ (Kegagalan/Tahun) terkecil juga dimiliki oleh *load point* pada Bentangan *Feeder* FKPLPNB0103 (KD52, KD 53), begitu juga untuk

load point yang terletak pada Bentangan *Feeder* FKPLPNB0105 (TB8, TB7, TB81, TB43). Sementara untuk U (Jam/Tahun) terkecil yaitu sebesar 2,8506 (Jam/Tahun) dimiliki oleh *load point* yang terletak pada Bentangan *Feeder* FKPLPNB0101 (KD11, KD17, KD4, KD53, KD61), *load point* yang terletak pada Bentangan *Feeder* FKPLPNB0102 (KD52, KD53), dan *load point* yang terletak pada Bentangan *Feeder* FKPLPNB0105 (TB8, TB7, TB81, TB43). Hal itu karena *load point* tersebut terletak sebelum ke-3 pemisah seksi dan tidak terletak pada *lateral section*.

Tabel 3. Indeks *Load Point* Penyulang Penebel

| Load Point | λ (Keggln./Th.) | r (Jam) | U (Jam/Th) |
|-------------------|---|--------------------|-----------------------|
| KD11 | 1.6508 | 1.72679913 | 2.8506 |
| KD12 | 1.7282 | 1.783937012 | 3.083 |
| KD17 | 1.6508 | 1.72679913 | 2.8506 |
| KD36 | 1.6604 | 1.734160452 | 2.8794 |
| KD4 | 1.6508 | 1.72679913 | 2.8506 |
| KD51 | 1.6508 | 1.72679913 | 2.8506 |
| KD52 | 1.6508 | 1.72679913 | 2.8506 |
| KD53 | 1.6508 | 1.72679913 | 2.8506 |
| KD58 | 1.6604 | 1.734220617 | 2.8795 |
| KD61 | 1.6508 | 1.72679913 | 2.8506 |
| KD81 | 1.6571 | 1.731699993 | 2.8696 |
| KR32 | 1.8919 | 1.847666359 | 3.4956 |
| KR33 | 1.8919 | 1.847666359 | 3.4956 |
| KR34 | 1.8919 | 1.847666359 | 3.4956 |
| MA25 | 1.7282 | 1.783937012 | 3.083 |
| MA26 | 1.7282 | 1.783937012 | 3.083 |
| MA44 | 1.6508 | 1.72679913 | 2.8506 |
| MI161 | 1.7176 | 1.776315858 | 3.051 |
| MI195 | 1.7176 | 1.776315858 | 3.051 |
| MI49 | 1.7176 | 1.776315858 | 3.051 |
| MI51 | 1.7176 | 1.776315858 | 3.051 |
| MI52 | 1.7176 | 1.776315858 | 3.051 |
| MI93 | 1.6508 | 1.72679913 | 2.8506 |
| PB11 | 1.8458 | 3.101473602 | 5.7247 |
| PB12 | 1.8592 | 3.100849829 | 5.7651 |
| PB13 | 1.6508 | 3.700145428 | 6.1082 |
| PB14 | 1.6508 | 3.902713698 | 6.4426 |
| PB15 | 1.7566 | 3.848343521 | 6.76 |
| PB16 | 1.7204 | 3.86619396 | 6.6514 |
| PB22 | 1.7706 | 1.768722489 | 3.1317 |
| PB23 | 1.7566 | 3.848343521 | 6.76 |
| PB24 | 1.8458 | 3.101473602 | 5.7247 |
| PB38 | 1.8919 | 1.847666359 | 3.4956 |
| PB39 | 1.8006 | 3.104132042 | 5.5893 |
| PB4 | 1.6508 | 3.700145428 | 6.1082 |
| PB46 | 1.7706 | 1.768722489 | 3.1317 |
| PB66 | 1.7566 | 3.848343521 | 6.76 |
| PB67 | 1.6752 | 3.111867133 | 5.213 |
| PB68 | 2.0617 | 3.090895835 | 6.3725 |
| PB72 | 2.0906 | 3.089591395 | 6.4591 |

(Lanjutan) Tabel 3. Indeks *Load Point* Penyulang Penebel

| Load Point | λ (Keggln.Th.) | r (Jam) | U (Jam/Th) |
|-------------------|--|--------------------|-----------------------|
| PB73 | 1.6752 | 3.111867133 | 5.213 |
| PB74 | 2.0355 | 3.092163993 | 6.2941 |
| PB75 | 2.043 | 3.091727876 | 6.3164 |
| PB76 | 2.0491 | 3.091552341 | 6.3349 |
| PB77 | 2.04 | 3.09181377 | 6.3073 |
| PB78 | 1.6508 | 3.700145428 | 6.1082 |
| PB8 | 1.8006 | 3.104132042 | 5.5893 |
| PB81 | 1.6508 | 3.700145428 | 6.1082 |
| PB83 | 1.6508 | 3.700145428 | 6.1082 |
| PB84 | 1.7566 | 3.848343521 | 6.76 |
| PB9 | 1.8006 | 3.104132042 | 5.5893 |
| TB11 | 1.9289 | 2.33589098 | 4.5057 |
| TB12 | 1.6728 | 2.27773791 | 3.8102 |
| TB13 | 1.7889 | 1.825144002 | 3.265 |
| TB14 | 1.7889 | 1.825144002 | 3.265 |
| TB15 | 1.6789 | 1.701471229 | 2.8566 |
| TB28 | 1.6508 | 2.267930737 | 3.7439 |
| TB29 | 1.6508 | 2.267930737 | 3.7439 |
| TB31 | 1.675 | 2.278686637 | 3.8168 |
| TB35 | 1.9289 | 2.33589098 | 4.5057 |
| TB36 | 1.9289 | 2.33589098 | 4.5057 |
| TB37 | 1.9289 | 2.33589098 | 4.5057 |
| TB38 | 1.9289 | 2.33589098 | 4.5057 |
| TB39 | 1.9289 | 2.33589098 | 4.5057 |
| TB43 | 1.6508 | 1.72679913 | 2.8506 |
| TB47 | 1.9289 | 2.33589098 | 4.5057 |
| TB52 | 1.6508 | 2.267930737 | 3.7439 |
| TB56 | 1.6789 | 1.701471229 | 2.8566 |
| TB62 | 1.7889 | 1.825144002 | 3.265 |
| TB7 | 1.6508 | 1.72679913 | 2.8506 |
| TB76 | 1.9289 | 2.33589098 | 4.5057 |
| TB8 | 1.6508 | 1.72679913 | 2.8506 |
| TB81 | 1.6508 | 1.72679913 | 2.8506 |
| PB56 | 1.8223 | 3.102837191 | 5.6543 |
| PB57 | 1.8458 | 3.101473602 | 5.7247 |
| PB58 | 2.027 | 3.09250116 | 6.2685 |
| PB61 | 2.0452 | 3.091629158 | 6.323 |
| PB62 | 2.027 | 3.09250116 | 6.2685 |
| PB63 | 1.6791 | 3.887558699 | 6.5276 |
| PB55 | 1.7204 | 3.86619396 | 6.6514 |
| PB59 | 2.027 | 3.09250116 | 6.2685 |
| PB48 | 2.0164 | 3.092937871 | 6.2366 |
| PB49 | 2.0164 | 3.092937871 | 6.2366 |
| PB5 | 1.6508 | 2.267930737 | 3.7439 |
| PB51 | 2.0164 | 3.092937871 | 6.2366 |
| PB52 | 2.0164 | 3.092937871 | 6.2366 |

(Lanjutan) Tabel 3. Indeks *Load Point* Penyulang Penebel

| Load Point | Λ (Keggln.Th.) | r (Jam) | U (Jam/Th) |
|-------------------|--|--------------------|-----------------------|
| PB5 | 1.6508 | 2.267930737 | 3.7439 |
| PB51 | 2.0164 | 3.092937871 | 6.2366 |
| PB52 | 2.0164 | 3.092937871 | 6.2366 |
| PB53 | 1.7204 | 3.86619396 | 6.6514 |
| PB54 | 1.7204 | 3.86619396 | 6.6514 |
| KD11 | 1.6508 | 1.72679913 | 2.8506 |
| KD12 | 1.7282 | 1.783937012 | 3.083 |
| KD17 | 1.6508 | 1.72679913 | 2.8506 |
| KD36 | 1.6604 | 1.734160452 | 2.8794 |
| KD4 | 1.6508 | 1.72679913 | 2.8506 |
| KD51 | 1.6508 | 1.72679913 | 2.8506 |
| KD52 | 1.6508 | 1.72679913 | 2.8506 |
| KD53 | 1.6508 | 1.72679913 | 2.8506 |
| KD58 | 1.6604 | 1.734220617 | 2.8795 |
| PB64 | 2.027 | 3.09250116 | 6.2685 |

Hasil ekskusi program menunjukkan nilai SAIFI adalah sebesar 1.7594 (Pemadaman /Pelanggan. Tahun), hal ini mengisyaratkan bahwa rata-rata pemadaman adalah 1.7594 kali pemadaman perpelanggan pertahunnya. Sementara harga SAIDI sebesar 4.248 (Jam/Pelanggan.Tahun), hal ini mengisyaratkan bahwa rata-rata lama pemadaman adalah 4.248 jam perpelanggan pertahunnya

7. SIMPULAN

Berdasarkan hasil perhitungan program dapat diperoleh SAIFI dan SAIDI dari Penyulang sebesar 1.76 (Pemadaman/Pelanggan.Tahun) dan SAIDI sebesar 4.25 (Jam/Pelanggan. Tahun).

8. DAFTAR PUSTAKA

- [1] Billinton, R., Allan, Ronald N. 1996. **Reliability Evaluation of Power Systems.** 2nd ed. New York: Plenum Press.
- [2] Billinton, R, Wang, P, 1998. **Reliability Network Equivalent Approach to Distribution System Reliability Evaluation.** IEEE Proc-Gener. Distrib, vol.145, no.2.
- [3] Ebeling, Charles E. 1996. **An Introduction To Reliability and Maintainability Engineering.** Singapura : The McGraw-Hill Companies, Inc
- [4] Williams, R. H, 2003. **Probability, Statistic, and Random Processes for Engineers.** USA: Thomson Brook
- [5] PT. PLN (Persero). 1985. **SPLN 59: Keandalan Pada Sistem Distribusi 20 kV dan 6 kV.** Jakarta : Departemen Pertambangan dan Energi Perusahaan Umum Listrik Negara.